

## (یادداشت مهندسی)

# تحلیل گرمایشی و آیروترمودینامیکی سامانه‌های هوافضایی با استفاده از یک روش مهندسی

محمد همایون‌فر<sup>۲</sup>

دانشکده مهندسی مکانیک  
دانشگاه صنعتی خواجه نصیرالدین طوسی

(تاریخ دریافت: ۹۲/۰۶/۳۱؛ تاریخ پذیرش: ۹۲/۱۱/۰۱)

مسعود میرزاوی<sup>۱</sup>

قطب طراحی و شبیه‌سازی سامانه‌های فضایی، دانشکده مهندسی هوافضا

### چکیده

در این مقاله یک روش مهندسی بسیار سریع جهت تخمین شار حرارتی جابجایی بر روی سامانه‌های ابرصوتی مقارن محوری معرفی شده است. جهت محاسبه خواص جریان در لایه مرزی (شامل فشار، دما، سرعت و ...) از جداول حاصل از حل عددی جریان غیرلزج یک مرجع روسی استفاده شده و برای حل جریان ناحیه لزج، معادلات انتقال حرارت جابجایی "ذوبی" به کار گرفته شده است. همچنین برای محاسبه خواص ترموفیزیکی سیال از مدل گاز حقیقی استفاده شده است. هدف اصلی از این پژوهش، تهییه یک نرم‌افزار رایانه‌ای بسیار سریع جهت محاسبات آیروترمودینامیکی سامانه‌های ابرصوتی است که در طراحی سپرهای حرارتی مورد استفاده قرار می‌گیرد. نتایج حاصل از نرم‌افزار، با نتایج محققان دیگر مقایسه شده و از صحت روش مهندسی مورد استفاده و نیز کد تهییه شده اطمینان حاصل شده است.

**واژه‌های کلیدی:** روش‌های مهندسی، شار حرارتی جابجایی، سامانه‌های هوافضایی، سپر حرارتی.

## Heating and Aerothermodynamic Analysis of Aerospace Vehicles Using an Engineering Method

M. Mirzaei

Center of excellence for design and simulation of space systems, Aerospace Engineering Department, K.N. Toosi University of Technology.

(Received:22 September, 2013; Accepted:21 January, 2014)

M. Homayoonfar

Mechanical Engineering Department Sharif University of Technology

### ABSTRACT

In this paper, a very fast engineering method is introduced to estimate convection heat flux on axisymmetric and hypersonic projectiles. For calculation of properties flow at the edge of boundary layer (pressure, temperature and velocity), the results of in viscous flow analysis reported in tables (from a Russian reference) was used and for viscous region, Zoby's convection heat transfer equations was implemented. Moreover, real gas assumption was used for thermo physical properties of the fluid. The main goal of this research is to develop a very fast computer code for aero thermodynamic calculations of hypersonic cvehicles that may be used as a tool forde signing of heat shields. The results of the present method were compared with those of the other researchers and there is good agreement between them.

**Keywords:** Convection Heat Flux, Aerospace Vehicles, Heat Shield, Engineering Methods.

۱- دانشیار (نویسنده پاسخگو): mirzaei@kntu.ac.ir

۲- کارشناس ارشد: m\_homayoonfar@yahoo.com

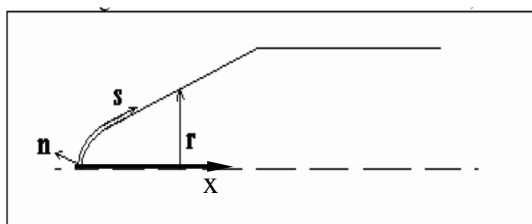
## ۱- مقدمه

نمودند. رایلی [۱۷] و رایلی و دجارت [۱۸] با ارائه یک روش مهندسی و بسیار ساده، انتقال حرارت در جریان مافق صوت را بررسی نموده و در حالات مختلف با نتایج قبلی مقایسه نمودند. پرهیزکار و کریمیان [۱۹] در مقاله‌ای روش مهندسی ارائه شده توسط مراجع [۱۸ و ۱۷] را مورد استفاده قرار داده و نتایج قابل قبولی کسب نمودند.

در مقاله حاضر یک روشی مهندسی بسیار سریع جهت محاسبه شار حرارتی آبودینامیکی ارائه شده،<sup>6</sup> بدین صورت که ابتدا با استفاده از جداول حاصل از حل عددی سالتسنف<sup>7</sup> و همکاران [۲۰]، مشخصات جریان از قبیل سرعت، فشار و عدد ماخ در لبه لایه مرزی در هندسه‌های گوناگون در هر نقطه از سطح محاسبه شده، سپس شار حرارتی براساس آخرین روابط نیمه تجربی، محاسبه می‌شود. این روابط بر پایه تعریف ضخامت مومنتووم لایه مرزی و استفاده از آن در روابط مربوط به صفحه تخت بنا شده است. همچنین برای محاسبه خواص ترموفیزیکی هوا در دماهای بالاتر از ۲۰۰ درجه سانتی‌گراد با توجه به تجزیه مولکول‌های هوا از جداول ترمودینامیکی استفاده شده است.

## ۲- محاسبه شار حرارتی جابجایی

در شکل ۱ نمایی شماتیک از سامانه مورد مطالعه و سیستم مختصات آورده شده است. در این تحقیق شار حرارتی در چهار بخش نوک سامانه، ناحیه جریان آرام، ناحیه گذار از جریان آرام به متلاطم و ناحیه متلاطم محاسبه می‌گردد.



شکل(۱): نمایی از سامانه

## ۲- نوک سامانه (نقطه سکون)

برای محاسبه شار حرارتی در نوک سامانه تاکنون روش‌های گوناگونی معرفی شده‌اند. یکی از این روابط رابطه‌ی  $F$ - $R$ یدل است [۷]:

محاسبه شار حرارتی وارد بر یک سامانه ابرصوتی، مهم‌ترین پارامتر در طراحی سپرهای حرارتی که به طور معمول عایق‌های فناشونده هستند، می‌باشد. به منظور بررسی شار حرارتی می‌توان از روش‌های عددی، تجربی و نیز ترکیبی از روش‌های عددی و تجربی استفاده نمود. روش‌های عددی، بدون ساده‌سازی، بسیار زمان‌بر بوده و به مراکز محاسباتی بسیار پیشرفته نیازمند است. از سوی دیگر استفاده از روش‌های تجربی مانند توnel‌های باد نیز بسیار پر هزینه و فاقد کارایی در تمامی شرایط می‌باشد. برخی از نتایج به دست آمده از این روش‌ها در مراجع [۱ تا ۸] آورده شده است.

نخستین ساده‌سازی در حل عددی معادلات حاکم را می‌توان با توجه به مفهوم لایه مرزی و با غیر لزج فرض کردن ناحیه خارج از آن ( تقسیم جریان را به دو ناحیه لایه مرزی نازک در اطراف جسم و لایه غیر لزج خارج از آن) در نظر گرفت [۹]. این فرض در ناحیه بسیار وسیعی از اعداد رینولدز دارای اعتبار است و می‌توان اثرات لزجت و هدایت حرارتی را تنها به ناحیه درون لایه مرزی محدود کرد. در سال ۱۹۶۴ مزلن<sup>۱</sup> روش ساده‌ای را برای محاسبه مشخصات جریان در لایه شوک ارائه داد [۱۰]. در سال ۱۹۹۰ رایلی و دجارت [۱۲] روش مزلن را بهبود داده و موفق شدند فشار روی سطح جسم را با دقت بالاتری محاسبه نمایند. اشکال عمده در این روش، ضعف آن در پیش‌بینی فشار در ناحیه پشت به باد سامانه است. در سال ۲۰۰۱ ملکزاده و کریمیان [۱۳] با پیشنهاد استفاده از میان‌یابی خطی برای تعیین خطوط جریان در ناحیه پشت به باد، جواب‌های مناسبی برای این ناحیه به دست آورده‌اند.

پس از محاسبه مشخصات جریان در ناحیه غیر لزج، می‌توان با حل معادلات حاکم در لایه مرزی، شار حرارتی را محاسبه نمود. در سال ۱۹۸۱ زوبی<sup>۲</sup> معادلات تقریبی انتقال حرارت جابجایی را ارائه نمود [۱۴]. گرانتز<sup>۳</sup> و همکاران [۱۵] در سال ۱۹۹۰ معادلات تقریبی برای به دست آوردن انتقال حرارت در حالت تقارن محوری و گوپتا<sup>۴</sup> و همکاران [۱۶] معادلات حاکم در جریان مافق صوت آرام و مغشوش بر روی یک پرنده باریک ارائه

$$h_{aw} = h_e + \frac{1}{2} Pr^{0.5} u_e^2. \quad (6)$$

با توجه به متغیرهای عنوان شده، شار حرارتی در جریان آرام تراکم پذیر به صورت زیر تعریف می شود:

$$q_{wL} = 0.22(Re_0)^{-1} \frac{\rho^*}{\rho_e} \left( \frac{\mu^*}{\mu_e} \right) \rho_e u_e (h_{aw} - h_w) (Pr_w)^{-0.6}, \quad (7)$$

در رابطه (۴) و (۷)،  $\mu^*$ ،  $\rho^*$ ، چگالی و لزجت در شرایط آنتالپی مرجع اکرت هستند. همچنین زیرنویس  $e$  و  $w$  به ترتیب نشان دهنده شرایط در لبه لایه مرزی و روی دیواره سامانه است.

### ۳-۲-ناحیه جریان متلاطم

به عنوان یک فرض قابل قبول می توان از قانون توانی برای پروفیل سرعت در جریان مغلوش استفاده نمود:

$$\frac{u}{u_e} = \left( \frac{n}{\delta} \right)^{\frac{1}{N}}. \quad (8)$$

در تحقیقات مختلف به طور معمول برای محاسبه پروفیل سرعت لایه مرزی مغلوش، از قانون توانی یک هفتم استفاده شده و مقدار  $N$  ثابت و برابر عدد ۷ در نظر گرفته می شود. در محاسبه شار حرارتی جریان مغلوش، ضخامت مومنتوم لایه مرزی تراکم ناپذیر و آنتالپی دیواره آدیباتیک به صورت زیر تعریف می شوند: [۱۷ و ۱۹]

$$\theta_T = \frac{C_2 \left[ \int_0^s \rho^* \mu^{*^m} r^{C_3} ds \right]^{C_4}}{\rho_e u_e r}, \quad (9)$$

$$h_{aw} = h_e + \frac{1}{2} Pr^{1/3} u_e^2. \quad (10)$$

با تعریف ضخامت مومنتوم لایه مرزی و آنتالپی دیواره آدیباتیک، شار حرارتی جریان مغلوش به صورت زیر قابل محاسبه است:

$$q_{wT} = C_1 (Re_0)^{-m} \left( \frac{\mu^*}{\mu_e} \right)^m \rho_e u_e (h_{aw} - h_w) (Pr_w)^{-0.4}, \quad (11)$$

در روابط (۹) و (۱۱)،  $\mu^*$ ،  $\rho^*$ ، چگالی و لزجت در شرایط آنتالپی مرجع اکرت هستند و ضرایب نیز با توجه قانون توانی و به صورت زیر محاسبه می شوند:

$$m = \frac{2}{N+1},$$

$$C_1 = \left( \frac{1}{C_s} \right)^{\frac{2N}{N+1}} \left[ \frac{N}{(N+1)(N+2)} \right]^m,$$

$$C_3 = 1+m \quad C_2 = (1+m)C_1,$$

$$C_4 = \frac{1}{C_3} \quad C_5 = 2.2433 + 0.93N.$$
(12)

$$q = 0.763 Pr_w^{-0.6} (\rho_e \mu_e)^{0.4} (\rho_w \mu_w)^{0.1} \left( \frac{du_e}{dx} \right)^{0.5} (h_e - h_w) \quad (1)$$

$$\left( \frac{du_e}{dx} \right) = \frac{1}{R} \sqrt{2 \frac{P_e - P_h}{\rho_e}},$$

در این رابطه  $h_e$ ،  $h_w$ ،  $\rho_e$ ،  $\mu_e$ ،  $\rho_w$ ،  $\mu_w$ ،  $P_e$  و  $P_h$  به ترتیب آنتالپی بر روی دیواره، آنتالپی در لبه لایه مرزی، چگالی در دمای دیواره، چگالی در لبه لایه مرزی، ویسکوزیتی در دیواره، ویسکوزیتی در لبه لایه مرزی، سرعت در لبه لایه مرزی و عدد پرانتل در دیواره می باشند. همچنین  $P_e$  و  $P_h$  فشار در نقطه سکون و فشار در جریان آزاد و  $R$  شعاع قسمت ابتدایی سامانه است.

دیگر عامل تعیین کننده در محاسبه شار حرارتی در نقطه سکون، فشار سکون،  $P_e$  است و مرجع [۲۰]، با توجه به عدد ماخ جریان آزاد،  $M_h$ ، رابطه زیر را پیشنهاد می دهد:

$$P_e = P_h \left[ \frac{166.92 M_h^7}{(7M_h^2 - 1)^{2.5}} \right]. \quad (2)$$

### ۲-۲-ناحیه جریان آرام

بر اساس نتایج مربوط به صفحه تخت، روابط تقریبی انتقال حرارت جایجایی توسط زوبی [۱۴ و ۱۷] به دست آمده است. در این روابط عدد رینولدز بر مبنای ضخامت مومنتوم لایه مرزی و برای جریان آرام به صورت زیر تعریف می شود:

$$Re_0 = \frac{\rho_e u_e \theta}{\mu_e}. \quad (3)$$

$$\theta = \frac{0.663 \left[ \int_0^s \rho^* \mu^* u_e r^2 ds \right]^{\frac{1}{2}}}{\rho_e u_e r}. \quad (4)$$

لازم به ذکر است که روابط صفحه تخت برای جریان های تراکم ناپذیر می باشد. برای جریان های تراکم پذیر می توان از روش آنتالپی مرجع اکرت [۹] استفاده نمود. بر اساس روش آنتالپی مرجع، در صورتی که کلیه خواص فیزیکی جریان را در آنتالپی یا دمای مرجع اندازه گیری شوند، آن گاه می توان از روابط و متغیرهای جریان تراکم ناپذیر برای جریان تراکم پذیر استفاده نمود. آنتالپی مرجع به صورت زیر تعریف می شود:

$$h^* = \frac{1}{2} (h_e - h_w) + 0.22 (h_{aw} - h_w), \quad (5)$$

در رابطه بالا  $h_e$  آنتالپی در لبه لایه مرزی و  $h_{aw}$  آنتالپی دیواره آدیباتیک می باشد و برای جریان آرام به صورت رابطه (۶) تعریف می گردد:

۰/۷۳ در نظر گرفت. اما در دما و فشار بالاتر، با توجه به تجزیه هوا، از نتایج همین مرجع استفاده شده است.

ظرفیت حرارتی پس از محاسبه عدد پرانتل، ضریب هدایت حرارتی و ویسکوزیته، به صورت زیر قابل محاسبه است:

$$cp = \text{Pr} \frac{k}{\mu}. \quad (16)$$

#### ۴- محاسبه دما، چگالی و فشار در لبه لایه مرزی

برای محاسبه شار حرارتی می‌باشد دما، چگالی و فشار در لبه لایه مرزی در نقاط مختلف سامانه محاسبه شوند. در این پژوهش از نتایج به دست آمده در مرجع [۲۰] استفاده شده است. در این مرجع از روش عددی کلاسیک مشخصه‌ها، استفاده شده و نتایج بر اساس عدد ماخ، فشار بی‌بعد و شکل هندسی در حالات گوناگون ارائه گردیده است. بخش دیگری از کد تهیه شده با دریافت نتایج این مرجع و استفاده از مدل گاز حقیقی، خروجی‌های موردنظر را محاسبه می‌کند. شایان ذکر است که استفاده از این روش، تأثیر بسیار زیادی بر سرعت اجرای برنامه دارد.

جهت درک بیشتر اختلاف استفاده از مدل گاز حقیقی نسبت به گاز ایده‌آل، یک جسم هوافضایی را در نظر بگیرید که در ارتفاع ۵۳ کیلومتری و با سرعت ۱۱ کیلومتر بر ثانیه وارد جو می‌شود در صورت استفاده از مدل گاز ایده‌آل نسبت دما و چگالی بعد از شوک به قبل از شوک به ترتیب ۲۰۶ و ۶ می‌باشد در صورتیکه همین مقادیر با درنظر گرفتن مدل گاز حقیقی به ترتیب ۴۲ و ۱۵ می‌باشد [۹].

#### ۴- نوک سامانه

در نوک سامانه به علت وقوع موج ضربه‌ای، تغییرات بسیار زیادی در دما، فشار، چگالی و آنتالپی به وجود می‌آید. وقوع شوک در سرعت‌های بالا (عدد ماخ بالا) با ایجاد بارهای حرارتی بسیار زیاد همراه است. این بارهای حرارتی دمای سیال را به شدت افزایش می‌دهد. با افزایش بسیار زیاد دمای سیال، امکان تجزیه ترکیبات آن (اکسیژن و نیتروژن) وجود دارد. با افزایش دما ابتدا اکسیژن و سپس نیتروژن شروع به تجزیه می‌کنند. اگر در دمای کمتر از ۲۰۰۰ کلوین باشد که مولکول‌های هوا تجزیه نشده، تنها عامل مؤثر بر دمای هوا، وقوع شوک می‌باشد و دمای سکون به صورت رابطه (۱۷) قابل محاسبه است:

$$T_0 = T_h \left(1 + \frac{\gamma - 1}{2} M_h^2\right). \quad (17)$$

#### ۴-۲- ناحیه گذار از جریان آرام به متلاطم

در این ناحیه، مقدار شار حرارتی که برای جریان آرام و مغشوش محاسبه شده با استفاده از یکتابع وزنی، توزیع نرخ انتقال حرارت در ناحیه گذرا به صورت زیر محاسبه می‌شود [۱۷ و ۱۹]:

$$\begin{aligned} q_w &= q_{wL} + \omega_f (q_{wT} - q_{wL}), \\ \omega_f &= 1 - \exp(-0.412 \xi_{irr}^2), \\ \xi_{irr} &= \frac{4(x - x_{beg})}{(x_{end} - x_{beg})}. \end{aligned} \quad (13)$$

در رابطه (۱۳)  $x_{beg}$  و  $x_{end}$  بیانگر نقطه آغاز و پایان ناحیه گذار است.

#### ۳- محاسبه خواص سیال با تغییرات دما و فشار

در محاسبه شار حرارتی نیازمند محاسبه خواص سیال در دیواره و در لبه لایه مرزی می‌باشد، در حالی که به علت پرواز سامانه با سرعت‌های بسیار بالا و قوع موج ضربه‌ای بر روی آن، دما، چگالی و فشار و نیز خواص سیال به شدت تغییر می‌کند. برای محاسبه این خواص که شامل عدد پرانتل، ظرفیت حرارتی، ضریب هدایت حرارتی و ویسکوزیته می‌باشند، از مرجع [۲۱] استفاده شده و با تهیه یک برنامه رایانه‌ای بر اساس این مرجع، پارامترهای مورد نیاز محاسبه شده‌اند.

جهت محاسبه لزجت و ضریب هدایت حرارتی در این مرجع با توجه به تجزیه هوا در دمای بالاتر از ۲۰۰۰ کلوین، مقادیر به صورت جدولی آورده شده است. شایان ذکر است مقادیر به دست آمده در این مرجع در دماهای پایین‌تر از ۲۰۰۰ درجه کلوین منطبق بر رابطه ساترلند است. برای محاسبه لزجت نسبت  $\eta/\eta_o$  ارائه شده و به صورت زیر قابل محاسبه است:

$$\begin{aligned} \eta_o &= 1.462 \times 10^{-5} T^{1/2} \left(1 + \frac{111}{T}\right)^{-1}, \\ \mu &= \eta_o \left(\frac{\eta}{\eta_o}\right). \end{aligned} \quad (14)$$

برای محاسبه ضریب هدایت حرارتی نیز نسبت  $k/k_o$  ارائه شده که در این جدول،  $k_o$  ضریب هدایت حرارتی سیال به صورت زیر قابل محاسبه است:

$$\begin{aligned} k_o &= 1.994 \times 10^{-5} T^{1/2} \left(1 + \frac{112}{T}\right)^{-1}, \\ k &= k_o \left(\frac{k}{k_o}\right). \end{aligned} \quad (15)$$

عدد پرانتل نیز در محاسبه شار حرارتی مورد نیاز می‌باشد. در دماهای کمتر از ۵۰۰ کلوین عدد پرانتل را می‌توان برابر

محاسبات عددی جریان مافوق صوت را بر اجسام گنبدی شکل تحت زاویه حمله صفر درجه به روش کلاسیک مشخصه ها در قالب جداولی با مقادیر بدون بعد ارائه کرده است. که در مرجع [۲۰] این جداول معروفی شده و ادعا شده که خطای محاسبات در حدود ۰/۱۰ الی ۰/۵ درصد می باشد. این جداول با توجه به عدد ماخ جریان آزاد، زاویه مخروط و نسبت فاصله متحنی الخط هر نقطه بر شعاع دماغه، مقدار عدد ماخ و نیز فشار بی بعد در لبه لایه مرزی نقطه موردنظر برآورد می شود. با توجه به این اعداد بی بعد و همچنین روابط ۲۰ الی ۲۴ خواص جریان شامل دما، فشار و سرعت در نقاط مختلف با استفاده از روش تکراری قابل استخراج است:

$$\bar{P} = \frac{P_e}{\frac{1}{2} \rho h V_h^2}. \quad (۲۲)$$

$$u_e = M_e \sqrt{\gamma R T_e}. \quad (۲۳)$$

$$h_e = h_o - \frac{u_e^2}{2}. \quad (۲۴)$$

باید توجه داشت که برای محاسبه چگالی سیال بر روی سطح سامانه، از فشار در لبه لایه مرزی ( $P_e$ ) استفاده می شود. بنابراین با استفاده از رابطه (۲۱) چگالی سیال دیواره ( $\rho_w$ ) محاسبه می شود.

## ۵- روند محاسبه شار حرارتی

به صورت خلاصه برای محاسبه شار حرارتی در هر نقطه از سطح سامانه، مراحل زیر طی می شود:

- ۱- محاسبه مشخصات جریان در نقطه سکون
- ۲- محاسبه مشخصات جریان در نقاط مختلف سامانه
- ۳- محاسبه خواص سیال بر روی دیواره و در لبه لایه مرزی
- ۴- انتخاب رژیم جریان و روابط مناسب
- ۵- ضخامت مومنتوم لایه مرزی و عدد رینولدز
- ۶- محاسبه دمای آدیبا تیک دیواره
- ۷- محاسبه شار حرارتی

## ۶- نتایج

بخش اصلی این تحقیق عبارت است از تهیه یک برنامه رایانه ای که برای محاسبه شار حرارتی و فشار در نقاط گوناگون مورد استفاده قرار گرفته است. شایان ذکر است که کد تهیه شده می باشد از لحظه پرتاب سامانه، نتایج مورد نیاز را محاسبه و در اختیار کاربر قرار دهد. به منظور اطمینان از صحت این کد، نتایج به دست آمده با نتایج پژوهش های قبلی در هندسه ها، شرایط پروازی و رژیم های مختلف، مقایسه شده است.

اما همان گونه که گفته شد در اعداد ماخ بالا امکان تجزیه هوا وجود دارد. با تجزیه هوا، بخشی از بار حرارتی جذب سیال شده و دمای سکون کاهش می یابد. به این منظور ابتدا باید آنتالپی سکون را محاسبه کنیم:

$$h_0 = h_h + \frac{V_h^2}{2}. \quad (۱۸)$$

در محاسبه آنتالپی سکون عامل تعیین کننده سرعت و آنتالپی جریان آزاد سیال است. به منظور محاسبه فشار سکون مرجع [۲۲] رابطه زیر را پیشنهاد می دهد:

$$P_0 = P_h \left[ \left( \frac{\bar{\gamma} + 1}{2} \right)^{\frac{(\bar{\gamma}+1)}{(\bar{\gamma}-1)}} \left( \frac{2}{\bar{\gamma}-1} \right)^{\frac{1}{(\bar{\gamma}-1)}} \frac{M_h^{\frac{2\bar{\gamma}}{\bar{\gamma}-1}}}{\left( \frac{2}{\bar{\gamma}-1} M_h^2 - 1 \right)^{\frac{1}{(\bar{\gamma}-1)}}} \right]. \quad (۱۹)$$

با در دست داشتن آنتالپی و فشار سکون می توان چگالی سکون را به صورت زیر محاسبه کرد.

$$\rho = \left( \frac{P}{h} \right) \left( \frac{\bar{\gamma}}{\bar{\gamma} - 1} \right),$$

$$\bar{\gamma} = C_1 + C_2 Y + C_3 Z + C_4 YZ + \frac{C_5 + C_6 Y + C_7 Z + C_8 YZ}{1 + \exp[C_9(X + C_{10}Y + C_{11}Z)]},$$

$$Y = \log \left( \frac{\rho}{1.292} \right),$$

$$X = \log \left( \frac{P}{1013400} \right),$$

$$Z = X - Y.$$

معادلات فوق را می توان با استفاده از یک روش تکراری و با یک حدس اولیه به طور مثال  $\bar{\gamma} = 1.4$  حل نمود. سپس دمای نقطه سکون با استفاده از معادلات زیر به دست می آید.

$$\log \left( \frac{T}{151.78} \right) = b_1 + b_2 Y + b_3 Z + b_4 YZ + b_5 Z^2 + b_6 Y^2 + b_7 Y^2 Z + b_8 Z^2 Y + \frac{b_9 + b_{10} Y + b_{11} Z + b_{12} YZ + b_{13} Z^2}{1 + e^{[(b_{14} Y + b_{15}) (Z + b_{16})]}},$$

$$Y = \log \left( \frac{\rho}{1.225} \right),$$

$$X = \log \left( \frac{P}{1013400} \right),$$

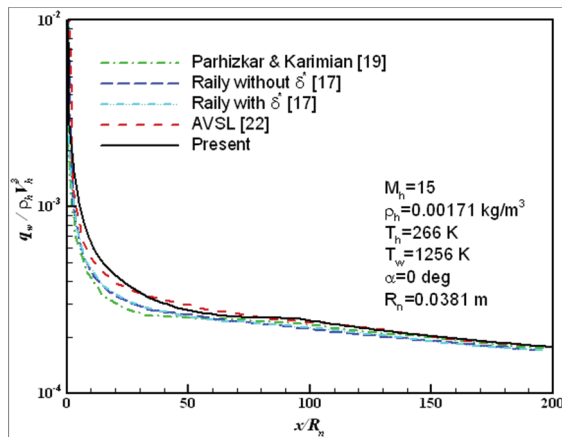
$$Z = X - Y.$$

## ۴- سایر نقاط سامانه

برای محاسبه فشار، چگالی و دما در هر نقطه از سامانه، نیازمند مشخصات دینامیکی جریان از قبیل عدد ماخ و فشار بی بعد می باشد.

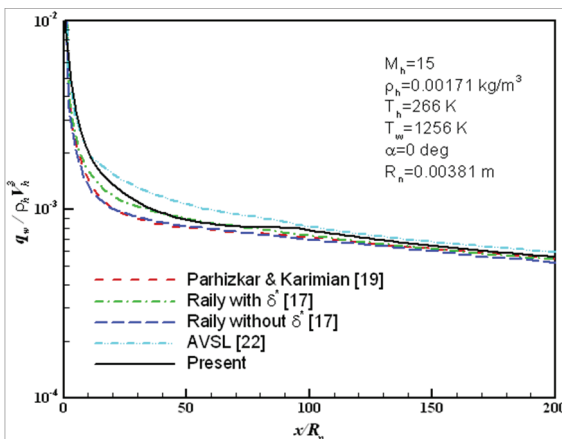
با توجه به اینکه در حال حاضر روش های دقیق تحلیلی برای مسائل مافوق صوت بر روی اجسام با نوک پخ وجود ندارد، به ناچار می باشد از روش های عددی برای به دست آوردن پارامترهای لازم در لبه لایه مرزی استفاده کرد. از طرفی به دلیل زمان بر بودن روش های عددی، مرکز محاسبات آکادمی علوم روسیه کلیه

جريان آزاد با ماخ ۱۵، دانسیته ۰/۰۱۷۱ کیلوگرم بر مترمکعب، دمای ۲۶۶ کلوین و دمای سطح ۱۲۵۶ کلوین نشان می‌دهد. ملاحظه می‌شود که نتایج به دست آمده با مراجع [۱۷ و ۲۵] از نوک جسم تا  $x/R_n = 50$  با یکدیگر اختلاف داشته و بعد از آن کم می‌شود. علت آن اختلاف در تخمین خواص جریان در لبه لایه مرزی و خواص ترموفیزیکی سیال توسط روش‌های مختلف کمی باشد.



شکل (۴): جریان آرام روی یک مخروط.

$$R_n = 0.0381\text{m}, \theta = 5^\circ$$

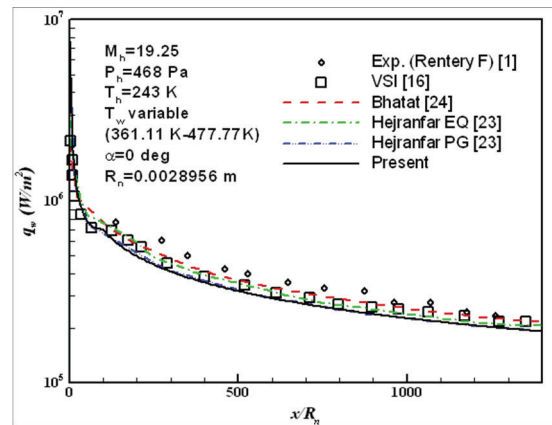


شکل (۵): جریان آرام روی یک مخروط.

$$R_n = 0.00381\text{m}, \theta = 10^\circ$$

شکل ۶ نمودار شار حرارتی را بر روی یک مخروط با شعاع دماغه ۰/۰۳۸۱ متر و نیم زاویه ۵ درجه و مشخصات جریان آزاد با ماخ ۲۵، فشار ۵۴/۵۸ پاسکال، دمای ۲۶۶ کلوین و دمای سطح ۱۲۵۶ کلوین نشان می‌دهد. شار حرارتی محاسبه شده با نتایج روش لایه شوک لزج سه بعدی مرجع [۱۶] و کد عددی Laura اختلاف کمی دارد.

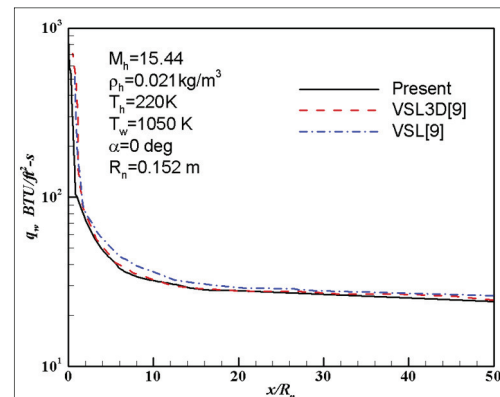
شکل ۲ نمودار شار حرارتی را بر روی یک مخروط با شعاع دماغه ۰/۰۲۹ متر و نیم زاویه ۵ درجه و مشخصات جریان آزاد با ماخ ۱۹/۲۵، فشار ۴۶۳ پاسکال، دمای ۲۴۳ کلوین و دمای سطح متغیر ۳۶۱ الی ۴۷۷ کلوین نشان می‌دهد. ملاحظه می‌شود نتایج حاصل از روش ارائه شده با مدل گاز کامل مرجع [۲۳] تطبیق کامل داشته و با مراجع [۱۶ و ۲۴] اختلاف کمی دارد.



شکل (۲): جریان آرام روی یک مخروط.

$$R = 0.0029\text{m}, \theta = 5^\circ$$

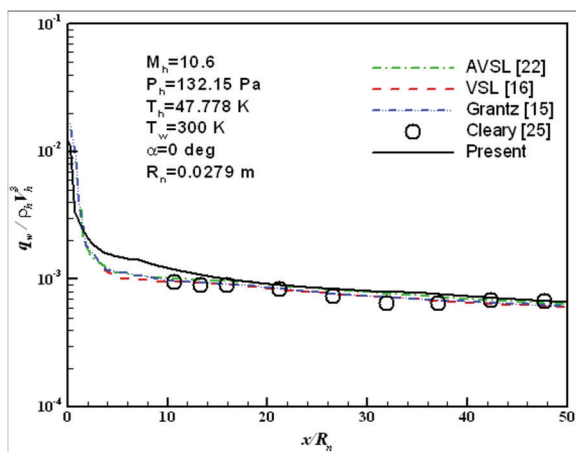
شکل ۳ نمودار شار حرارتی را بر روی یک مخروط با شعاع دماغه ۰/۱۵۲ متر و نیم زاویه ۱۰ درجه و مشخصات جریان آزاد با ماخ ۱۵/۴۴، دانسیته ۰/۰۲۱ کیلوگرم بر مترمکعب، دمای ۲۲۰ کلوین و دمای سطح ۱۰۵ کلوین نشان می‌دهد. شار حرارتی محاسبه شده توسط روش ارائه شده با نتایج روش لایه شوک لزج سه بعدی مرجع [۹] اختلاف کمی دارد.



شکل (۳): جریان آرام روی یک مخروط.

$$R = 0.152\text{m}, \theta = 10^\circ$$

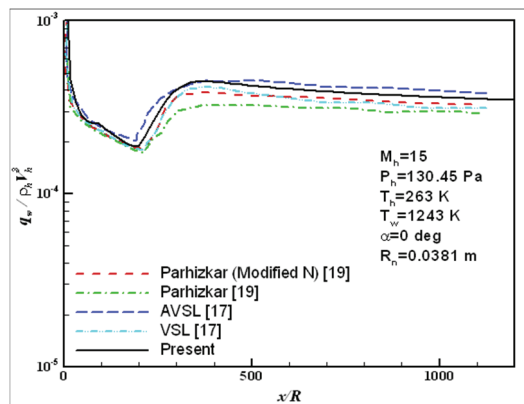
شکل ۴ و ۵ نمودار شار حرارتی را بر روی یک مخروط با شعاع دماغه ۰/۰۳۸۱ متر و نیم زاویه به ترتیب ۵ و ۱۰ درجه و مشخصات



شکل (۸): جریان آرام روی یک مخروط.

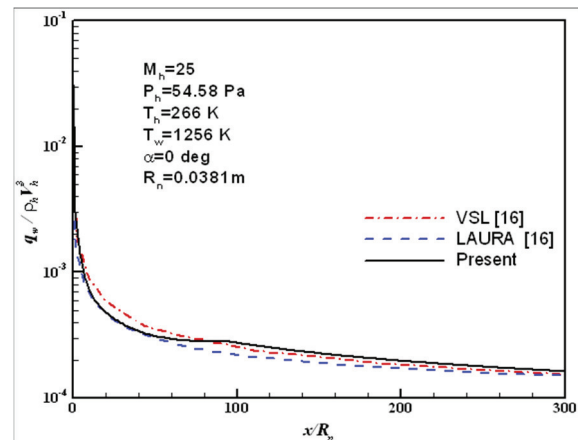
$$R_n = 0.0279 \text{ m}, \theta = 15^\circ$$

شکل ۹ نمودار شار حرارتی را بر روی یک مخروط با شعاع دماغه  $0.0381 \text{ m}$  و نیم زاویه  $5^\circ$  درجه و مشخصات جریان آزاد با ماخ  $1243 \text{ K}$ ، فشار  $130.45 \text{ Pa}$ ، دمای  $263 \text{ K}$  کلوین و دمای سطح  $300 \text{ K}$  کلوین و شکل ۱۰ نمودار شار حرارتی را بر روی یک مخروط با شعاع دماغه  $0.0356 \text{ m}$  و نیم زاویه  $5^\circ$  درجه و مشخصات جریان آزاد با ماخ  $19.97 \text{ K}$ ، دانسیته  $0.446 \text{ kg/m}^3$  بر مترمکعب، دمای  $221 \text{ K}$  کلوین و دمای سطح متغیر  $431 \text{ K}$  الی  $604 \text{ K}$  کلوین نشان می‌دهد. ملاحظه می‌شود در هر دو مورد، روش ارائه شده تغییر رژیم جریان را به خوبی تشخیص داده و مقادیر شار حرارتی به دست آمده مابین نتایج مراجع [۱۶ و ۱۷] قرار دارد.



شکل (۹): جریان آرام، گذرا و متلاطم بر روی یک مخروط.

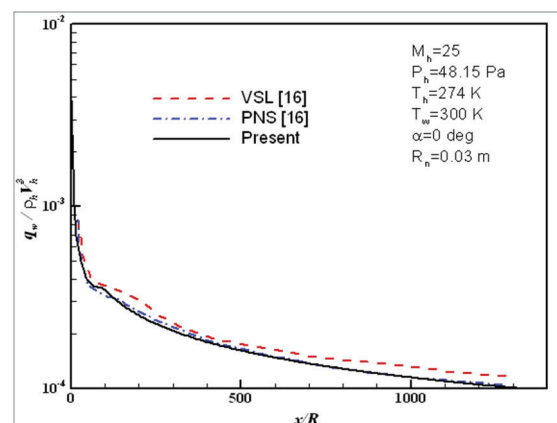
$$R_n = 0.0381 \text{ m}, \theta = 5^\circ$$



شکل (۶): جریان آرام روی یک مخروط.

$$R_n = 0.0381 \text{ m}, \theta = 5^\circ, \alpha = 0^\circ$$

شکل ۷ نمودار شار حرارتی را بر روی یک مخروط با شعاع دماغه  $0.03 \text{ m}$  و نیم زاویه  $5^\circ$  درجه و مشخصات جریان آزاد با ماخ  $48.15 \text{ Pa}$ ، فشار  $274 \text{ K}$ ، دمای  $274 \text{ K}$  کلوین و دمای سطح  $300 \text{ K}$  کلوین نشان می‌دهد. ملاحظه می‌شود نتایج حاصل با نتایج روش ناوير استوکس سهموی شده مرجع [۱۶] تطابق دارد.



شکل (۷): جریان آرام روی یک مخروط.

$$R_n = 0.03 \text{ m}, \theta = 5^\circ$$

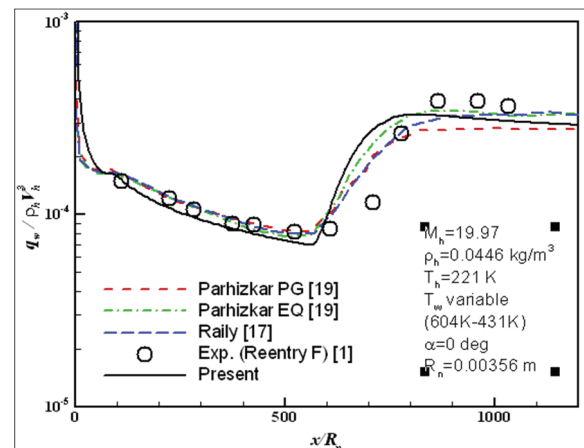
شکل ۸ نمودار شار حرارتی را بر روی یک مخروط با شعاع دماغه  $0.0279 \text{ m}$  و نیم زاویه  $15^\circ$  درجه و مشخصات جریان آزاد با ماخ  $132.15 \text{ Pa}$ ، فشار  $130.45 \text{ Pa}$ ، دمای  $47.778 \text{ K}$  کلوین و دمای سطح  $300 \text{ K}$  کلوین نشان می‌دهد. ملاحظه می‌شود که نتایج حاصل از روش ارائه شده با مراجع [۱۵، ۱۶ و ۲۵] در محدوده  $x/R_n = 5 \text{ to } 50$  اختلاف دارد. همان‌طور که بیان گردید علت آن اختلاف در تخمین خواص جریان در لبه لایه مرزی می‌باشد.

شار حرارتی برای کلیه نقاط سطح خارجی یک سامانه در کل مسیر پرواز در کمتر از یک دقیقه انجام می‌شود.

۲- محاسبه دقیق خواص جریان: در بعضی از روش‌های مهندسی از مدل گاز ایده‌آل جهت محاسبه دما و چگالی سیال و از معادله ساترلند جهت محاسبه خواص ترموفیزیکی لρجت و ضریب هدایت حرارتی استفاده می‌شود که در دمای‌های بالای ۲۰۰۰ درجه سانتی‌گراد به واسطه تجزیه مولکول‌های هوا اعتبار ندارد، اما در روش ارائه شده از مدل گاز حقیقی استفاده شده و سایر خواص ترموفیزیکی به طور مستقیم از جداول ترمودینامیکی برداشت می‌شود.

## ۸- مراجع

- Stainback, P.C. Johnson, C.B. Boney, L.B. and Wicker, K.C. "Comparison of Theoretical Predictions and Heat Transfer Measurements for a Flight Experiment at Mach 20 (Reentry F)", NASA TMX-2560, 1972.
- Toro, P.G.P. Minucci, M.A.S. Ramos, A.G. Chancs, J.B. Percira, A.L. Korcnowski, H. Nagamatsu, H.T. and Myrabo, L.N. "Experimental Pressure Investigation of Blunt Body at Mach 8", AIAA A 2001-0644, 2001.
- Nagamatsu, H.T. Myrabo, L.N. Messitt, D.G. and Sheer, R.E. "Summary of Theoretical, Experimental, and Computational Investigation of Flow Over Flat Plate to Mach 25", AIAA 2005-506, 2005.
- Holden, M.S. Wadhams, T.P. Harvey, J. and Walker, B.J. "Experimental and Numerical Studies on Hypersonic Vehicle Performance in the LENS Shock and Expansion Tunnels", AIAA 2006-125, 2006.
- Wadhams, T.P. and Mundy, E. "Experimental and Analytical Studies of Transition in High Speed Flows at CUBRC", AIAA 2008-4395, 2008.
- Schneider, S.P. "Hypersonic Boundary-Layer Transition on Blunt Bodies with Roughness", AIAA 2008-501, 2008.
- Saravanan, S. Jagadeesh, G. and Reddy, K.P.J. "Convective Heat-Transfer Rate Distributions Over a Missile Shaped Body Flying at Hypersonic Speeds, Experimental Thermal and Fluid Science", vol. 33, pp. 782-790, 2009.
- Lee, H.J. Jeung, I.S. "Heat Flux Measurement Techniques Over the Protuberance at the Hypersonic Flow of Mach 7", AIAA 2009-7258.
- Anderson, J.D. "Hypersonic and High Temperature Gas Dynamics", McGraw-Hill Book Company, 1989.
- Maslen, S.H. "Inviscid Hypersonic Flow Past Smooth Symmetric Bodies", AIAAJ. v.12, No.6, pp. 1055-1061, 1964.



شکل (۱۰): جریان آرام، گذرا و متلاطم بر روی یک مخروط.

$$R = 0.00356\text{m}, \theta = 5^\circ$$

با نگاه دقیق‌تر به نتایج حاصل از روش ارائه شده به خصوص در جریان آرام ملاحظه می‌شود که یک تغییر شیب ملایم در اواسط بدنه مخروط رخ می‌دهد که علت آن استفاده از جداول جهت تخمین خواص لایه مرزی و خواص ترموفیزیکی سیال می‌باشد که در عمل ممکن است شیب نمودار به طور صاف نباشد.

همان‌گونه که گفته شد نتایج به دست آمده قابل قبول بوده و با نتایج سایر مراجع مطابقت دارند درنتیجه روش مهندسی مورد استفاده و کد رایانه‌ای تهیه شده کارایی مناسبی داشته و با توجه به کاهش بسیار زیاد هزینه‌های محاسباتی در این روش نسبت به روش‌های معمول عددی، می‌توان از آن به منظور محاسبه عایق حرارتی استفاده نمود.

## ۷- نتیجه‌گیری

در این تحقیق محاسبه شار حرارتی بر روی چند سامانه با هندسه‌ها و شرایط پروازی مختلف مورد بررسی قرار گرفته است. نتایج به دست آمده در این پژوهش بیانگر دقیق‌ترین روش مهندسی در محاسبه شار حرارتی جابجایی سامانه‌های ابرصوتی در نواحی آرام، گذرا و متلاطم است.

مزیت روش ارائه شده نسبت به سایر روش‌های مهندسی:

- تخمین سریع مشخصات جریان بر روی لایه مرزی: در اکثر روش‌های مهندسی برای تخمین مشخصات جریان بر روی لایه مرزی به طور معمولاً طریق حل معادله اویلر یا حل معادله لایه شوک لزج عمل می‌کنند که زمان محاسبه شار حرارتی برای یک مسیر پروازی طولانی خواهد شد اما در روش ارائه شده با استفاده از نتایج حاصل از حل عددی که در مرجع [۲۰] معرفی شده، محاسبه

20. Solntsev, V.P. Galitseisky, B.M. Glebov, G.A, "Heat Transfer on the Surface of the Aircraft: Guidelines for Settlement and Graphic Works", Moscow Aviation Institute, 1987.
21. Hansen, C. F. "Approximations for the Thermodynamic and Transport Properties of High-Temperature Air", NASA TN-4150, 1958.
22. Tannehill, J. C. and Mugge, P. H. "Improved Curve Fits for the Thermodynamic Properties of Equilibrium Air Suitable for Numerical Computer Using Time-Dependent or Shock-Capturing Methods", NASA CR-2470, 1974.
23. Hejranfar, K. Moghadam, R.K. and Esfahani, V. "Dual-code Solution Procedure for Efficient Computing Equilibrium Hypersonic Axisymmetric Laminar Flows", Aerospace Sci. and Tech. Vol.12, pp.135–149, 2008.
24. Bhutta, B.A. and Lewis, C.H. "Comparison of Hypersonic Experiments and PNS Predictions, Part I: Aerothermodynamics", J. Spacecraft and Rockets, Vol. 28, pp. 234-240, 1991.
25. Cheatwood, F.M. and DeJarnette, F.R."Approximate Viscous Shock Layer Technique for Calculating Hypersonic Flows About Blunt-Nosed Bodies", J. Spacecraft and Rockets, Vol.31, No.4, pp. 621-628, 1994.
26. Cleary, J.W."TheEffects of Nose Bluntness on the Flow Separation and Longitudinal Characteristics of Ellipsoidal-Nosed Cylinder-Flare Models at Transonic Speeds", NASA TN D-5450.
11. Maslen, S.H. "Asymmetric Hypersonic Flow", NASA CR-2123, 1972.
12. Riley, C.J. and DeJarnette, F.R. "Approximate Method for Calculation Three Dimensional Inviscid Hypersonic Flow Fields", NASA TP3018, 1990.
13. Karimian, S.M.H. and Mehdizade, A. "Approximate Solution of Inviscid Flow Around the Nose of Hypersonic Bodies at Angle of Attack", Amirkabir J. vol.12, No.47, 2001.
14. Zoby, E.V.Moss, J.J. and Sutton, K. "Approximate Convective Heating Equations forHypersonic Flows", J. Spacecraft and Rockets, vol.18, No.1, pp. 64-70, 1981.
15. Grantz, A.C. DeJarnette, F.R. and Thompson, R.A. "Approximate Viscous Shock Layer Method for Hypersonic Flow Over Blunt-Nosed Bodies", J. Spacecraft and Rockets, vol.27, No.6, pp. 597-605, 1990.
16. Gupta, R.N. Lee, K.P. Zoby, E.V. Moss, J.N. and Thompson, R.A. "Hypersonic Viscous Shock Layer Solution Over Long Slender Bodies- Part 1: High Reynolds Number Flows", J. Spacecraft and Rockets, vol.27, No.2, pp. 175-184, 1990.
17. Riley, C.J. "An Engineering Method for Interactive Inviscid-Boundary Layer in Three-Dimensional Hypersonic Flow", PhD Thesis, North Carolina State Univ. 1992.
18. Riley, C.J. and DeJarnette, F.R. "An Engineering Aerodynamic Heating Method for Hypersonic Flow", AIAA Paper, 92-0499, 1992.
19. Parhizkar, H. and Karimian, S.H.M. "Laminar and Turbulent Aeroheating Predictions Around Multi-Cone Configurations in Hypersonic Equilibrium-Air Flow", J. Aerospace Science and Technology, Vol.3, pp.159-166, 2006.